



Laboratorium EMVO Sp. J. Urbański, Pawełak

ul. Jasna 1  
00-013 Warszawa

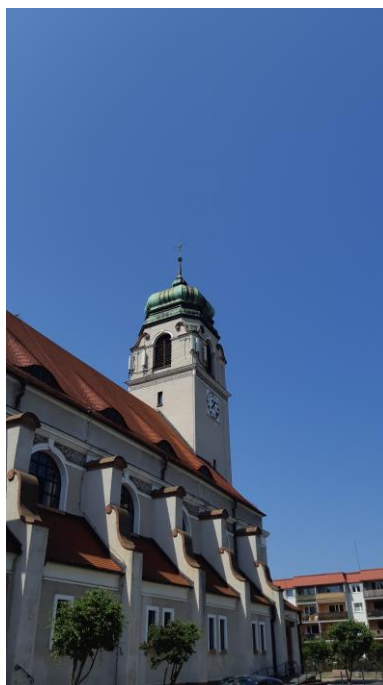
tel. +48 22 780 29 64

e-mail: laboratorium@emvo.pl



AB 1630

## Sprawozdanie z pomiarów pól elektromagnetycznych - środowisko ogólne nr 25/07/OŚ/2022-P4



<b>Nr i nazwa stacji</b>	<b>GDA0086</b>	
<b>Adres</b>	<b>Gdańsk, ul. Mickiewicza 11, pow. Gdańsk, woj. pomorskie</b>	
<b>Opracowanie</b>	<b>Wiesław Laskowski</b>	<b>Specjalista ds. pomiarów</b>
<b>Autoryzacja</b>	<b>Andrzej Urbański</b>	<b>Kierownik Laboratorium</b>
<b>Podpis</b>		
<b>Data</b>	<b>2022-07-20</b>	

## Spis treści

1. Informacje ogólne. ....	3
2. Podstawa prawna. ....	3
3. Opis pomiarów ....	3
4. Zróżnicowanie dopuszczalne poziomy pól elektromagnetycznych. ....	4
5. Charakterystyka źródeł PEM. ....	5
6. Wyniki pomiarów. ....	5
7. Stwierdzenie zgodności ....	7
8. Oświadczenie. ....	8
9. Spis załączników. ....	8

## 1. Informacje ogólne.

Zleceniodawca	P4 Sp. z o.o., ul. Wynałazek 1, 02-677 Warszawa osoba udzielająca informacji – Magdalena Sokół
Istotne informacje dostarczone przez klienta	komplet informacji niezbędnych do wykonania pomiarów i opracowania sprawozdania
Dane otrzymane od klienta mogące mieć wpływ na ważność wyników	dane anten sektorowych, dane anten radioliniowych, parametry pracy instalacji, poprawka pomiarowa
Prowadzący instalację	P4 sp. z o.o., ul. Wynałazek 1, 02-677 Warszawa
Lokalizacja obiektu	Gdańsk, ul. Mickiewicza 11, pow. Gdańsk, woj. pomorskie
Miejsce instalacji anten	wieża kościoła
Miejsce instalacji urządzeń	wewnątrz wieży
Osoby wykonujące pomiar	Roman Murawski - pomiarowiec
Data wykonania pomiaru	2022-07-20
Godzina rozpoczęcia pomiaru	12.00
Godzina zakończenia pomiaru	13.30
Temperatura na początku pomiaru [°C]	28
Temperatura na koniec pomiaru [°C]	28
Warunki atmosferyczne	brak opadów
Wilgotność na początku pomiaru [%]	49
Wilgotność na koniec pomiaru [%]	49
Inne źródła pól elektromagnetycznych oznaczone na załączniku graficznym	występują
Parametry pracy instalacji	tryb eksploatacyjny

## 2. Podstawa prawna.

### 2.1 Normy i rozporządzenia:

- Rozporządzeniem Ministra Klimatu z dnia 17 lutego 2020 r. w sprawie sposobów sprawdzania dotrzymania dopuszczalnych poziomów pól elektromagnetycznych w środowisku (Dz.U. 2020 poz. 258)
- Rozporządzenie Ministra Zdrowia z dnia 17 grudnia 2019 r. w sprawie dopuszczalnych poziomów pól elektromagnetycznych w środowisku (Dz.U. 2019 poz. 2448)
- Obwieszczenie Marszałka Sejmu Rzeczypospolitej Polskiej z dnia 19 lipca 2019 r. w sprawie ogłoszenia jednolitego tekstu ustawy - Prawo ochrony środowiska (Dz.U. 2019 poz. 1396)
- Rozporządzenie Ministra Klimatu i Środowiska z dnia 6 maja 2022 r. zmieniające rozporządzenie w sprawie sposobów sprawdzania dotrzymywania dopuszczalnych poziomów pól elektromagnetycznych w środowisku (Dz.U. 2022 poz. 1121).

## 3. Opis pomiarów

Metodologia pomiarowa Pomiary w oparciu o Rozporządzeniem Ministra Klimatu z dnia 17 lutego 2020 r. w sprawie sposobów sprawdzania dotrzymania dopuszczalnych poziomów pól elektromagnetycznych w środowisku (Dz.U. 2020 poz. 258) oraz Rozporządzenie Ministra Klimatu i Środowiska z dnia 6 maja 2022 r. zmieniające rozporządzenie w sprawie sposobów sprawdzania dotrzymywania dopuszczalnych poziomów pól elektromagnetycznych w środowisku (Dz.U. 2022 poz. 1121).

Cel badań Określenie wartości natężenia pola elektrycznego w miejscach dostępnych dla ludności.

Opis zestawu pomiarowego	<p>Miernik Narda NBM 550, Sonda EF 6092, o zakresie pomiarowym 0,7 V/m –300V/m pracująca w paśmie 0,1 – 90 GHz, świadectwo wydane przez Laboratorium Wzorców i Metrologii Pola Elektromagnetycznego, Instytut Telekomunikacji, Teleinformatyki i Akustyki Politechniki Wrocławskiej. Świadectwo ważne do 10.06.2024 r.</p> <p>Miernik Narda NBM 550, Sonda EF 6092 pracująca w zakresie temperatury -10°C - +50°C oraz wilgotności 5% - 95%</p> <p>Niepewność rozszerzona wynosi 58,8% przy poziomie ufności 95% z uwzględnieniem współczynnika rozszerzenia k=2.</p>
Wyposażenie pomocnicze	<p>Termohigrometr Bestone, typ: GM1362-EN-00, nr identyfikacyjny 1222436, świadectwo wzorcowania z dn. 22.12.2015 r. wydane przez Laboratorium Pomiarowe "MUTECH".</p> <p>Przymiar wstępowy STABILA, nr identyfikacyjny 5/WL/2016, świadectwo wzorcowania z dn. 06.09.2016 r. wydane przez Zespół Laboratoriów wzorcujących Okręgowego Urzędu Miar w Gdańsku.</p> <p>GPS Garmin 64s okresowo sprawdzany w punktach osnowy geodezyjnej klasy 3 na podstawie licencji punktu, zgodnie z procedurą sprawdzeń okresowych IS/PO-16-11/03.</p>
Pomiary zostały wykonane	<ol style="list-style-type: none"> <li>na głównych i pomocniczych kierunkach pomiarowych, na kierunkach zbliżonych do azymutów anten oraz w dodatkowych pionach pomiarowych zgodnie z wymaganiami pkt 12, 13, 14 i 19 Rozporządzenia Ministra Klimatu z dnia 17 lutego 2020 r. (Dz. U. 2020, poz. 258) oraz Rozporządzenia Ministra Klimatu i Środowiska z dnia 6 maja 2022 r. zmieniającego rozporządzenie w sprawie sposobów sprawdzania dotrzymywania dopuszczalnych poziomów pól elektromagnetycznych w środowisku (Dz.U. 2022 poz. 1121).</li> <li>na obszarze pomiarowym, dla którego, na podstawie uprzednio przeprowadzonych obliczeń stwierdzono w miejscach dostępnych dla ludności występowanie pól elektromagnetycznych o najwyższym poziomie, które pochodzą z badanej instalacji zgodnie z wymaganiami pkt 5 ppkt 2 oraz pkt 13 ppkt 1 Rozporządzenia Ministra Klimatu z dnia 17 lutego 2020 r. w sprawie sposobów sprawdzania dotrzymywania dopuszczalnych poziomów pól elektromagnetycznych w środowisku (Dz. U. 2020, poz. 258) oraz Rozporządzenia Ministra Klimatu i Środowiska z dnia 6 maja 2022 r. zmieniającego rozporządzenie w sprawie sposobów sprawdzania dotrzymywania dopuszczalnych poziomów pól elektromagnetycznych w środowisku (Dz.U. 2022 poz. 1121). Wyniki obliczeń nie uwzględniały parametrów pracy instalacji innych operatorów występujących na obiekcie bądź w obszarze pomiarowym.</li> <li>w miejscach dostępnych dla ludności.</li> <li>miejsca niedostępne podczas wykonywania pomiarów wskazane zostały w pkt 6 (tabeli wyniki pomiarów).</li> </ol>
Szczególne warunki podczas wykonywania pomiarów	Pomiary wykonane zostały podczas obowiązywania w kraju stanu zagrożenia epidemicznego, zgodnie z art. 122a ust. 1b Ustawy z dnia 27 kwietnia 2001 r. – Prawo ochrony środowiska (Dz. U. z 2019 r. poz. 1396, z późn. zm.9))
Warunki pracy urządzeń nadawczych	Tryb pracy eksploatacyjny.

#### 4. Zróżnicowanie dopuszczalne poziomy pól elektromagnetycznych.

Zgodnie z informacją otrzymaną od Klienta pomiary zostały wykonane przy ustawieniach pochylenia anten zgodnych z pkt. 13, ppkt 2 Rozporządzenia Ministra Klimatu z dnia 17 lutego 2020 roku.

Zakres częstotliwości pola elektromagnetycznego	Parametr fizyczny		
	Składowa elektryczna E (V/m)	Składowa magnetyczna H (A/m)	Gęstość mocy S (W/m <sup>2</sup> )
od 400 MHz do 2000 MHz	$1,375 \times f^{0,5}$	$0,0037 \times f^{0,5}$	f / 200
od 2 GHz do 300 GHz	61	0,16	10

## 5. Charakterystyka źródeł PEM.

Zgodnie z informacją otrzymaną od klienta pomiary zostały wykonane przy ustawieniach pochylenia anten zgodnych z pkt. 13, ppkt 2 załącznika do rozporządzenia Ministra Klimatu z dnia 17 lutego 2020 roku.

Tabela 1. Anteny sektorowe - dane otrzymane od klienta

Charakterystyka promieniowania		kierunkowa														
Rzeczywisty czas pracy [h/dobę]		24														
Rodzaj wytwarzanego pola		stacjonarne														
Lp.	Wyszczególnienie	sektor 1					sektor 2					sektor 3				
<b>I</b>																
<b>Nadajnik stacji bazowej:</b>																
1	Typ / Producent	DBS / SRAN Huawei														
2	Częstotliwość (pasmo) MHz	2100	1800	900	2600	800	2100	1800	900	2600	800	2100	1800	900	2600	800
3	Maksymalna moc nadawana na sektor [dBm]	52,04	52,04	47,78	52,04	49,03	52,04	52,04	47,78	52,04	49,03	52,04	52,04	47,78	52,04	49,03
<b>II</b>																
<b>Obciążenie:</b>																
1	Typ anteny	Huawei ATR4518R13			Huawei ATR4518R13		Huawei ATR4518R13			Huawei ATR4518R13		Huawei ATR4518R13			Huawei ATR4518R13	
2	Producent anteny	Huawei			Huawei		Huawei			Huawei		Huawei			Huawei	
3	Ilość anten	1			1		1			1		1			1	
4	Azymut	0					120					240				
5	Zakres kątów pochylenia anten [°]	0,00-10,00	0,00-10,00	0,00-14,00	0,00-10,00	0,00-14,00	0,00-10,00	0,00-10,00	0,00-14,00	0,00-10,00	0,00-14,00	0,00-10,00	0,00-10,00	0,00-14,00	0,00-10,00	0,00-14,00
6	Wysokość zainstalowania n.p.t. [m] (środek elektryczny anteny)	25,60					25,60					25,60				
7	EIRP [W]	18781			11807		18781			11807		18781			11807	

Tabela 2. Anteny radioliniowe - dane otrzymane od klienta

Charakterystyka promieniowania			kierunkowa						
Rzeczywisty czas pracy [h/dobę]			24						
Rodzaj wytwarzanego pola			stacjonarne						
Lp.	Linia radiowa			Antena					
	typ/producent	częstotliwość pracy [GHz]	moc wyjściowa [dBm]	typ/producent	średnica anteny [m]	azymut [°]	wysokość zainstalowania n.p.t. [m] (środek elektryczny anteny)		
1	1,1	1,75	0,003	0,005	0,3 - 2,0	54°23'1.17" N 18°37'10.35" E	otoczenie stacji bazowej - 50 m wzdłuż gł. osi promieniowania - GKP	0,064	0,063
2	0,9	1,43	0,002	0,004	0,3 - 2,0	54°23'2.78" N 18°37'10.35" E	otoczenie stacji bazowej - 100 m wzdłuż gł. osi promieniowania - GKP	0,052	0,052
3	1,0	1,59	0,003	0,004	0,3 - 2,0	54°23'4.4" N 18°37'10.35" E	otoczenie stacji bazowej - 150 m wzdłuż gł. osi promieniowania - GKP	0,058	0,058

## 6. Wyniki pomiarów.

Wyniki pomiarów pól elektromagnetycznych dla celów ochrony środowiska przedstawia poniższa tabela. Piony pomiarowe zostały przedstawione w zał. 2.

Nr PP	Pole-E [V/m]	Pole-E+U [V/m]	Pole-H [A/m]	Pole-H +U [A/m]	Wysokość pomiaru [m]	Współrzędne PP x, y	Opis PP	WM <sub>E</sub>	WM <sub>H</sub>
1	1,1	1,75	0,003	0,005	0,3 - 2,0	54°23'1.17" N 18°37'10.35" E	otoczenie stacji bazowej - 50 m wzdłuż gł. osi promieniowania - GKP	0,064	0,063
2	0,9	1,43	0,002	0,004	0,3 - 2,0	54°23'2.78" N 18°37'10.35" E	otoczenie stacji bazowej - 100 m wzdłuż gł. osi promieniowania - GKP	0,052	0,052
3	1,0	1,59	0,003	0,004	0,3 - 2,0	54°23'4.4" N 18°37'10.35" E	otoczenie stacji bazowej - 150 m wzdłuż gł. osi promieniowania - GKP	0,058	0,058

„Bez pisemnej zgody Laboratorium niniejsze sprawozdanie nie może być powielane inaczej, jak tylko w całości. Ponadto wyniki dotyczą tylko badanych obiektów przywołanych w niniejszym sprawozdaniu z badań”

Nr PP	Pole-E [V/m]	Pole-E+U [V/m]	Pole-H [A/m]	Pole-H +U [A/m]	Wysokość pomiaru [m]	Współrzędne PP x, y	Opis PP	WM <sub>E</sub>	WM <sub>H</sub>
4	1,9	3,02	0,005	0,008	0,3 - 2,0	54°23'6.02" N 18°37'10.35" E	otoczenie stacji bazowej - 200 m wzdłuż gł. osi promieniowania - GKP	0,110	0,110
5	1,8	2,86	0,005	0,008	0,3 - 2,0	54°23'7.83" N 18°37'10.35" E	otoczenie stacji bazowej - 256 m wzdłuż gł. osi promieniowania - GKP	0,104	0,104
6	1,4	2,22	0,004	0,006	0,3 - 2,0	54°22'58.74" N 18°37'12.75" E	otoczenie stacji bazowej - 50 m wzdłuż gł. osi promieniowania - GKP	0,081	0,081
7	1,3	2,06	0,003	0,005	0,3 - 2,0	54°22'57.93" N 18°37'15.15" E	otoczenie stacji bazowej - 100 m wzdłuż gł. osi promieniowania - GKP	0,075	0,075
8	1,4	2,22	0,004	0,006	0,3 - 2,0	54°22'57.12" N 18°37'17.55" E	otoczenie stacji bazowej - 150 m wzdłuż gł. osi promieniowania - GKP	0,081	0,081
9	1,5	2,38	0,004	0,006	0,3 - 2,0	54°22'56.32" N 18°37'19.95" E	otoczenie stacji bazowej - 200 m wzdłuż gł. osi promieniowania - GKP	0,087	0,087
10	1,8	2,86	0,005	0,008	0,3 - 2,0	54°22'55.41" N 18°37'22.63" E	otoczenie stacji bazowej - 256 m wzdłuż gł. osi promieniowania - GKP	0,104	0,104
11	1,1	1,75	0,003	0,005	0,3 - 2,0	54°22'58.74" N 18°37'7.95" E	otoczenie stacji bazowej - 50 m wzdłuż gł. osi promieniowania - GKP	0,064	0,063
12	1,2	1,91	0,003	0,005	0,3 - 2,0	54°22'57.93" N 18°37'5.55" E	otoczenie stacji bazowej - 100 m wzdłuż gł. osi promieniowania - GKP	0,069	0,069
13	0,9	1,43	0,002	0,004	0,3 - 2,0	54°22'57.12" N 18°37'3.15" E	otoczenie stacji bazowej - 150 m wzdłuż gł. osi promieniowania - GKP	0,052	0,052
14	0,9	1,43	0,002	0,004	0,3 - 2,0	54°22'56.32" N 18°37'0.75" E	otoczenie stacji bazowej - 200 m wzdłuż gł. osi promieniowania - GKP	0,052	0,052
15	1,0	1,59	0,003	0,004	0,3 - 2,0	54°22'55.41" N 18°36'58.07" E	otoczenie stacji bazowej - 256 m wzdłuż gł. osi promieniowania - GKP	0,058	0,058
A	1,2	1,91	0,003	0,005	0,3 - 2,0	54°22'59.5" N 18°37'10.4" E	ul. Mickiewicza 11, pomiar przy budynku - DPP	0,069	0,069
B	1,1	1,75	0,003	0,005	0,3 - 2,0	54°22'58.7" N 18°37'08.6" E	ul. Mickiewicza 11, pomiar przy budynku - DPP	0,064	0,063
C	0,7*	1,27	0,002	0,003	0,3 - 2,0	54°22'57.8" N 18°37'10.3" E	garaże, pomiar przy budynku - DPP	0,046	0,046
D	0,8	1,27	0,002	0,003	0,3 - 2,0	54°22'57.5" N 18°37'07.7" E	ul. Kubacza 31, pomiar przy budynku - DPP	0,046	0,046
E	0,7*	1,27	0,002	0,003	0,3 - 2,0	54°22'56.5" N 18°37'07.8" E	ul. Kubacza 27, pomiar przy budynku - DPP	0,046	0,046
F	1,2	1,91	0,003	0,005	0,3 - 2,0	54°22'57.9" N 18°36'12.2" E	ul. Mierosławskiego 25/23, pomiar przy budynku - DPP	0,069	0,069
G	1,4	2,22	0,004	0,006	0,3 - 2,0	54°22'58.5" N 18°36'12.2" E	ul. Mierosławskiego 27a, pomiar przy budynku - DPP	0,081	0,081
H	1,5	2,38	0,004	0,006	0,3 - 2,0	54°22'59.3" N 18°36'12.0" E	ul. Mierosławskiego 27, pomiar przy budynku - DPP	0,087	0,087
I	1,1	1,75	0,003	0,005	0,3 - 2,0	54°22'59.3" N 18°36'14.4" E	ul. Mickiewicza 15/17, pomiar przy budynku - DPP	0,064	0,063
J	1,4	2,22	0,004	0,006	0,3 - 2,0	54°22'59.4" N 18°36'15.6" E	ul. Mickiewicza 19, pomiar przy budynku - DPP	0,081	0,081
K	1,3	2,06	0,003	0,005	0,3 - 2,0	54°22'57.8" N 18°36'17.8" E	ul. Hallera 78/80, pomiar przy ogrodzeniu - DPP	0,075	0,075
L	1,0	1,59	0,003	0,004	0,3 - 2,0	54°23'00.6" N 18°36'13.9" E	ul. Mickiewicza 20, pomiar przy budynku - DPP	0,058	0,058
M	1,2	1,91	0,003	0,005	0,3 - 2,0	54°23'00.6" N 18°36'12.9" E	ul. Dubois 2a, pomiar przy budynku - DPP	0,069	0,069
N	1,9	3,02	0,005	0,008	0,3 - 2,0	54°23'00.6" N 18°36'11.5" E	ul. Mickiewicza 18, pomiar przy budynku - DPP	0,110	0,110
O	1,1	1,75	0,003	0,005	0,3 - 2,0	54°23'00.4" N 18°36'07.7" E	ul. Mickiewicza 16, pomiar przy budynku - DPP	0,064	0,063
P	1,0	1,59	0,003	0,004	0,3 - 2,0	54°22'59.3" N 18°36'06.3" E	ul. Mickiewicza 9, pomiar przy budynku - DPP	0,058	0,058

Nr PP	Pole-E [V/m]	Pole-E+U [V/m]	Pole-H [A/m]	Pole-H +U [A/m]	Wysokość pomiaru [m]	Współrzędne PP x, y	Opis PP	WM <sub>E</sub>	WM <sub>H</sub>
R	1,2	1,91	0,003	0,005	0,3 - 2,0	54°22'58.6" N 18°36'05.6" E	ul. Kubacza 34, pomiar przy budynku - DPP	0,069	0,069
S	1,0	1,59	0,003	0,004	0,3 - 2,0	54°22'57.7" N 18°36'06.7" E	ul. Kubacza 30, pomiar przy budynku - DPP	0,058	0,058
T	1,1	1,75	0,003	0,005	0,3 - 2,0	54°22'57.5" N 18°36'04.7" E	ul. Mickiewicza 7, pomiar przy budynku - DPP	0,064	0,063
U	1,7	2,70	0,005	0,007	0,3 - 2,0	54°22'56.5" N 18°36'01.5" E	ul. Prózna 7, pomiar przy budynku - DPP	0,098	0,098
V	0,7*	1,27	0,002	0,003	0,3 - 2,0	54°22'56.2" N 18°36'00.1" E	ul. Prózna 6, pomiar przy budynku - DPP	0,046	0,046
W	0,7*	1,27	0,002	0,003	0,3 - 2,0	54°23'02.3" N 18°36'09.8" E	budynek gospodarczy, pomiar przy budynku - DPP	0,046	0,046
X	1,3	2,06	0,003	0,005	0,3 - 2,0	54°23'04.0" N 18°36'09.9" E	budynek gospodarczy, pomiar przy budynku - DPP	0,075	0,075
Y	1,5	2,38	0,004	0,006	0,3 - 2,0	54°23'05.2" N 18°36'10.2" E	budynek gospodarczy, pomiar przy budynku - DPP	0,087	0,087
Z	1,8	2,86	0,005	0,008	0,3 - 2,0	54°23'06.9" N 18°36'10.5" E	budynek gospodarczy, pomiar przy budynku - DPP	0,104	0,104

Wynik pomiaru pole - E [V/m] - maksymalna wartość chwilowa zmierzona w danym pionie pomiarowym (uśredniona na podstawie punktu 11 Rozporządzenia Ministra Zdrowia).

Przyjęto najniższą dopuszczalną wartość składowej elektrycznej pola dla objętego pomiarami zakresu częstotliwości  $\min(ME_{gr}) = 28 \text{ V/m}$  oraz składowej magnetycznej  $\min(MH_{gr}) = 0,073 \text{ A/m}$ .

\* - wartość zmierzona poniżej zakresu akredytacji. Do obliczeń przyjęto wartość zgodną z dolną granicą akredytowanego zakresu pomiarowego metody.

GKP - główne kierunki pomiarowe

PKP - pomocnicze kierunki pomiarowe

DPP - dodatkowe punkty pomiarowe

PP - pion pomiarowy

U - niepewność pomiarowa rozszerzona, przy poziomie ufności 95%, z uwzględnieniem współczynnika rozszerzenia  $k=2$

WM<sub>E</sub> - wartość wskaźnikowa poziomu emisji pól elektromagnetycznych dla miejsc dostępnych dla ludności dla składowej elektrycznej pola

WM<sub>H</sub> - wartość wskaźnikowa poziomu emisji pól elektromagnetycznych dla miejsc dostępnych dla ludności dla składowej magnetycznej pola

## 7. Stwierdzenie zgodności

Na podstawie wytycznych podanych w Rozporządzeniu Ministra Zdrowia z dnia 17 grudnia 2019 r. w sprawie dopuszczalnych poziomów pól elektromagnetycznych w środowisku (Dz.U. 2019 poz. 2448) oraz sposobów sprawdzania dotrzymania tych poziomów zgodnie z Rozporządzeniem Ministra Klimatu z dnia 17 lutego 2020 r. w sprawie sposobów sprawdzania dotrzymania dopuszczalnych poziomów pól elektromagnetycznych w środowisku (Dz.U. 2020 poz. 258) oraz Rozporządzeniem Ministra Klimatu i Środowiska z dnia 6 maja 2022 r. zmieniającego rozporządzenie w sprawie sposobów sprawdzania dotrzymania dopuszczalnych poziomów pól elektromagnetycznych w środowisku (Dz.U. 2022 poz. 1121), dotyczących źródła wymagań, które muszą być spełnione, w oparciu o zasadę podejmowania decyzji zgodną z pkt 26 Rozporządzenia Ministra Klimatu z dnia 17 lutego 2020 r. (Dz.U. 2020 poz. 258), na podstawie wyników pomiarów pól elektromagnetycznych wykonanych w dniu 2022-07-20 stwierdzono, iż w miejscach dostępnych dla ludności, dopuszczalne poziomy pól elektromagnetycznych w środowisku, określone w przepisach wydanych na podstawie art. 122 ust. 1 ustawy z dnia 27 kwietnia 2001 r. – Prawo ochrony środowiska, uznaje się za dotrzymane w obszarze pomiarowym, w którym w wyniku zastosowania sposobu sprawdzenia dotrzymania dopuszczalnych poziomów pól elektromagnetycznych w środowisku, udokumentowano, że żadna z wartości wskaźnikowych nie przekracza wartości 1.

## 8. Oświadczenie.

Wyniki badania odnoszą się wyłącznie do badanego obiektu.

Bez pisemnej zgody sprawozdanie nie może być powielane inaczej, jak tylko w całości.

Uwagi i zastrzeżenia przyjmowane są w formie pisemnej w ciągu 14 dni od daty otrzymania sprawozdania.

## 9. Spis załączników.

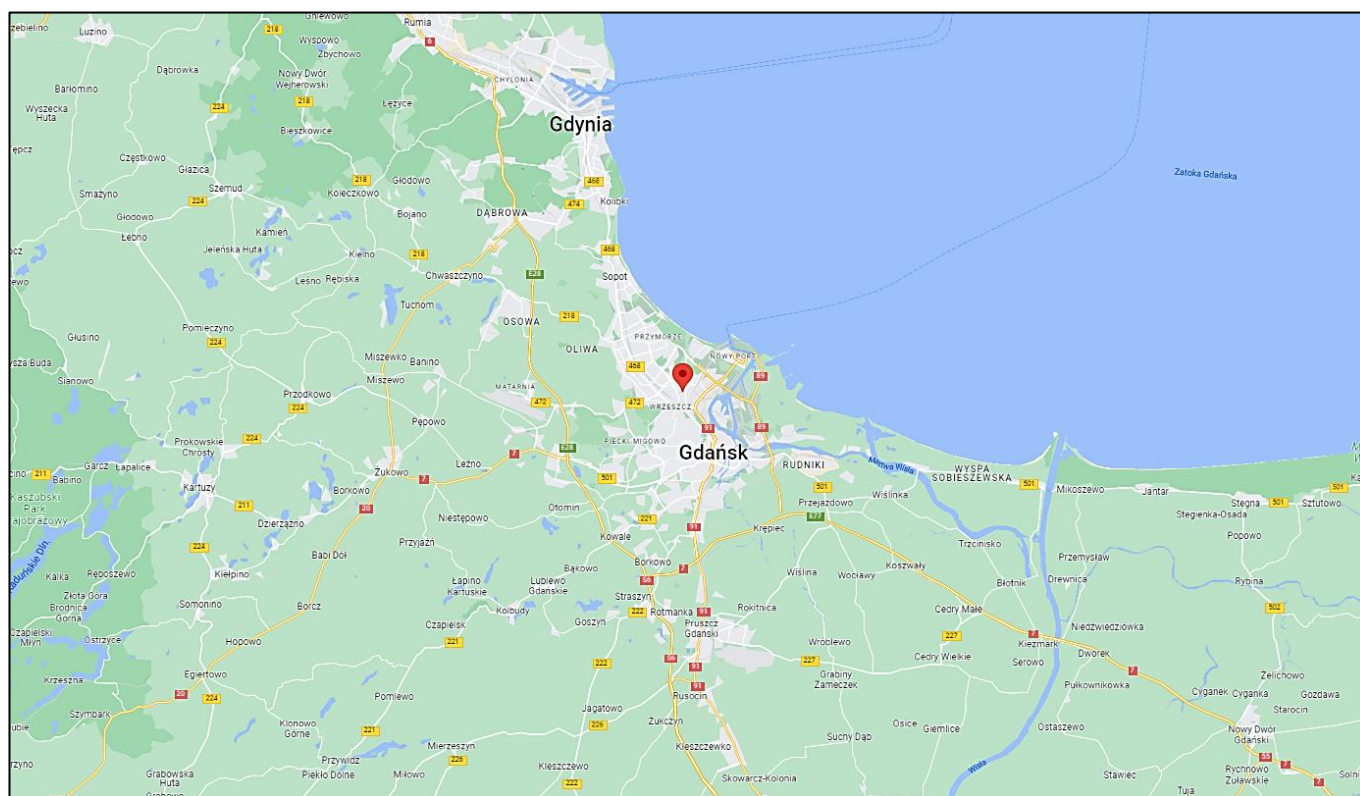
Załącznik 1. Lokalizacja obiektu.

Załącznik 2. Widok pionów pomiarowych

Załącznik 3. Widok stacji bazowej

**Koniec sprawozdania**

### Załącznik 1. Lokalizacja obiektu



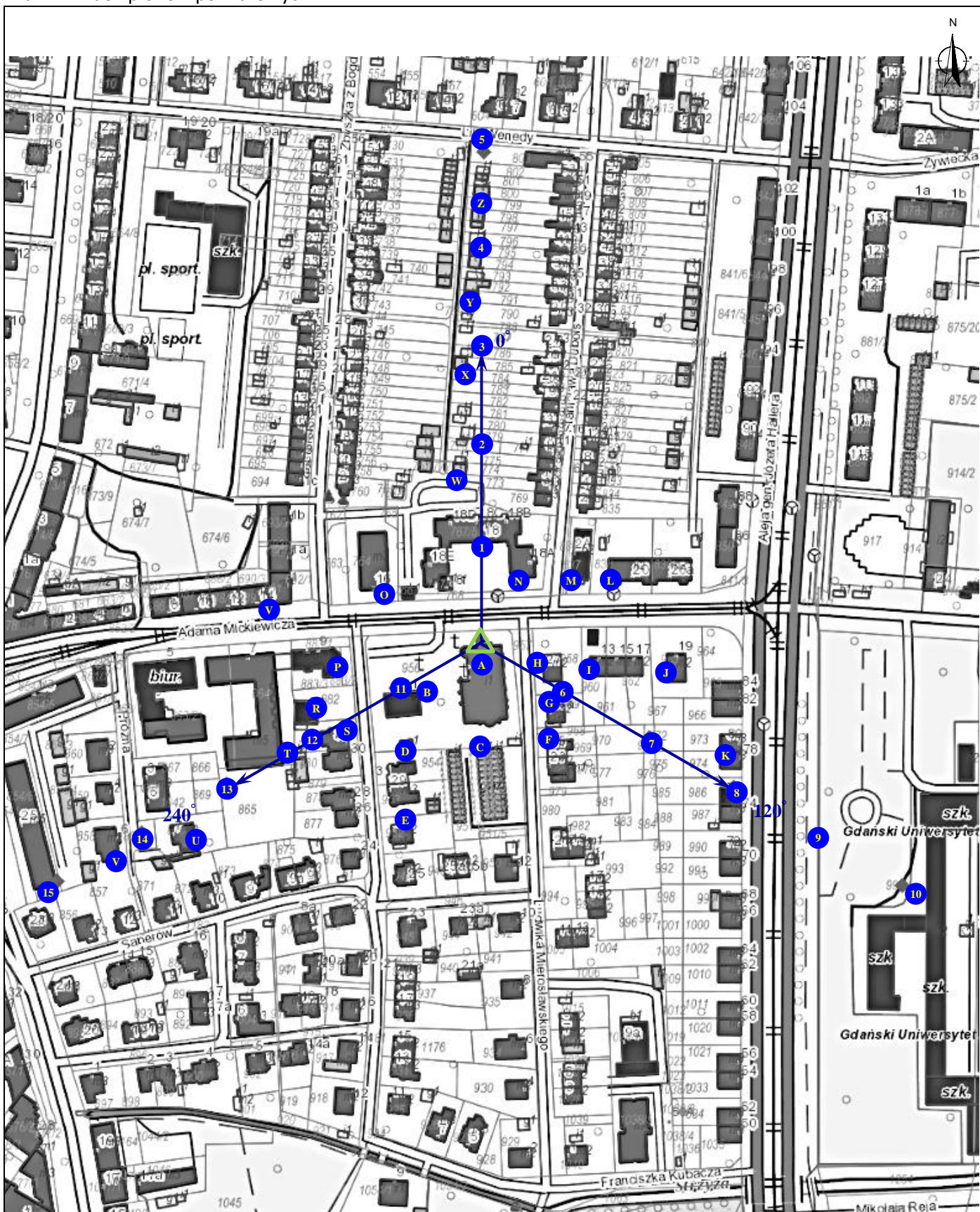
#### Współrzędne geograficzne

szerokość: 54°22'59.32"N

długość: 18°37'10.45"E



Załącznik 2. Widok pionów pomiarowych



LEGENDA:



inna instalacja radiokomunikacyjna

brak dostępu

pion pomiarowy



antena sektorowa

antena radioliniowa

Skala 1: 2500

Odległość, do której zostały wykonane pomiary, mierząc od instalacji antenowej, wynosi min. 256 m

### Załącznik 3. Załączniki graficzne

